



T22

三湘都市报

2012年6月9日 星期六

China  
Unicom 中国联通  
创新，改变世界

招拍竞想 精彩为您

—2012高考特刊 湖南联通祝高考学子心想事成

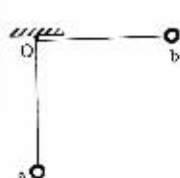
主要针对长途较多的用户

长途1毛 市话2毛

如意  
B卡

$2.0141u$ ,  $3.0161u$ ,  $4.0026u$  和  $1.0087u$ ;  $1u = 931.5 \text{ MeV}/c^2$ ;  $c$  是光速中的光速, 由上述反应方程和数据可知, 核子  $x$  是  ${}_3^1n$  (或  ${}_{-1}^0n$ ), 该反应释放出的能量为  $17.6 \text{ MeV}$  (结果保留3位有效数字)。

(2) (9分) 如图, 小球a、b用等长细线悬于同一固定点O。让球a静止下垂, 将球b向右拉起, 使细线水平。从静止释放球b, 两球碰撞后粘在一起向左摆动, 此后细线与竖直方向之间的最大偏角为  $60^\circ$ 。忽略空气阻力, 求



(i) 两球a、b的质量之比;

(ii) 两球在碰撞过程中损失的机械能与球b在碰撞前的最大动能之比。

解: (i) 设球b的质量为  $m_2$ , 细线长为  $L$ , 球b下落至最低点, 且末与球a相碰时的速度为  $v$ , 由机械能守恒定律得

$$m_2gL - \frac{1}{2}m_2v^2 \quad (1)$$

式中  $g$  是重力加速度的大小, 设球a的质量为  $m_1$ ; 在两球碰撞后的瞬间, 两球共同速度为  $v'$ , 以向左为正, 由动量守恒定律得

$$m_1v = (m_1 + m_2)v' \quad (2)$$

设两球共同向左运动到最高处时, 细线与竖直方向的夹角为  $\theta$ , 由机械能守恒定律得

$$\frac{1}{2}(m_1 + m_2)v'^2 = (m_1 + m_2)gL(1 - \cos\theta) \quad (3)$$

联立①②③式得

$$\frac{m_1}{m_2} = \frac{1}{\sqrt{1 - \cos\theta}} - 1 \quad (4)$$

代入数据得

$$\frac{m_1}{m_2} = \sqrt{2} - 1 \quad (5)$$

(ii) 两球在碰撞过程中的机械能损失是

$$Q = m_2gL - (m_1 + m_2)gL(1 - \cos\theta) \quad (6)$$

联立①⑥式,  $Q$  与碰撞前球b的最大动能  $E_k$  ( $E_k = \frac{1}{2}m_2v^2$ ) 之比为

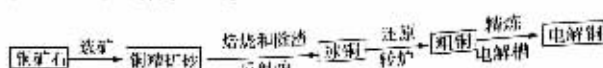
$$\frac{Q}{E_k} = 1 - \frac{m_1 + m_2}{m_2}(1 - \cos\theta) \quad (7)$$

联立⑤⑦式, 并代入题给数据得

$$\frac{Q}{E_k} = 1 - \frac{\sqrt{2}}{2} \quad (8)$$

• 45 •

36. [化学——选修2 化学与技术] (15分)

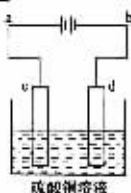
山黄铜矿(主要成分是  $CuFeS_2$ ) 浸泡精炼的工艺流程示意图如下:

(1) 在反射炉中, 把铜精矿砂和石英砂混合加热到  $1000^\circ\text{C}$  左右, 黄铜矿与空气反应生成  $Cu$  和  $Fe$  的低价氧化物, 上部分  $Fe$  的硫化物转变为低价氧化物, 该过程中两个主要反应的化学方程式分别是  $2CuFeS_2 + O_2 \xrightarrow{\text{高温}} Cu_2S + 2FeS - SO_2$ ,

$2FeS + 3O_2 \xrightarrow{\text{高温}} 2FeO + 2SO_2$ , 反射炉内生成的渣的主要成分是  $FeSiO_3$ ;

(2) 冰铜( $Cu_2S$  和  $FeS$  互相熔合而成)含  $Cu$  质量为  $20\% \sim 50\%$ 。转炉中, 将冰铜加熔剂(石英砂)在  $1200^\circ\text{C}$  左右吸入空气进行吹炼。冰铜中的  $Cu_2S$  被氧化为  $Cu_2O$ , 生成的  $Cu_2O$  与  $Cu_2S$  反应, 生成含  $Cu$  质量约为  $98.5\%$  的粗铜。该过程发生反应的化学方程式分别是  $2Cu_2S + 3O_2 \xrightarrow{\text{高温}} 2Cu_2O + 2SO_2$ ,  $2Cu_2O + Cu_2S \xrightarrow{\text{高温}} 6Cu + SO_2 \uparrow$ ;

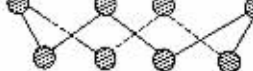
(3) 粗铜的电解精炼如右图所示。在粗铜的电解过程中, 粗铜板应是图中电极  $c$  (填图中的字母); 在电极  $d$  上发生的电极反应式为  $Cu^{2+} + 2e^- = Cu$ ; 若粗铜中含有  $Au$ 、 $Ag$ 、 $Fe$ , 它们在电解槽中的存在形式和位置为  $Au$ 、 $Ag$  以单质的形式沉积在  $c$  (阳极)下方,  $Fe$  以  $Fe^{2+}$  的形式进入电解液中。



37. [化学——选修3 物质结构与性质] (15分)

VIA族的氧、磷、硒(Se)、碲(Te)等元素在化合物中常表现出多种氧化态, 含VIA族元素的化合物在研究和生产中有许多重要用途。请回答下列问题:

(1) S单质的常见形式为  $S_8$ , 其环状结构如下图所示, S原子采用的轨道杂化方式是  $sp^2$ :



(2) 原子的第一电离能是指气态电中性基态原子失去一个电子转化为气态基态正离子所需要的最低能量。 $O$ 、 $S$ 、 $Se$ 原子的第一电离能由大到小的顺序为  $O > S > Se$ ;

(3) Se原子序数为  $34$ , 其核外M层电子的排布式为  $3s^2 3p^6 3d^{10}$ ;

(4)  $H_2Se$ 的酸性比  $H_2S$  强 (填“强”或“弱”)。气态  $SeO_3$ 分子的立体构型为平面三角形,  $SO_3^{2-}$ 离子的立体构型为三角锥形;

• 46 •

## 三湘都市报华声在线恭祝全省高考学子心想事成

(5)  $H_2SeO_3$ 的  $K_1$  和  $K_2$  分别为  $2.7 \times 10^{-3}$  和  $1.5 \times 10^{-5}$ ,  $H_2SeO_3$ 第一步几乎完全电离,  $K_1$  为  $1.2 \times 10^{-1}$ , 请根据结构与性质的关系解释:

(i)  $H_2SeO_3$ 和  $H_2SeO_4$  第一步电离程度大于第二步电离的原因:

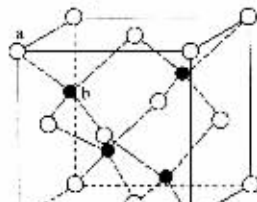
第一步电离生成的负离子较难进一步电离出带正电荷的阴离子;

(ii)  $H_2SeO_3$ 比  $H_2SeO_4$ 酸性强的原因:  $H_2SeO_3$ 和  $H_2SeO_4$ 可表示为  $(HO)_2SeO$  和  $(HO)_2SeO_2$ ,  $H_2SeO_4$ 中的  $Se$ 为  $+6$  价, 而  $H_2SeO_3$ 中的  $Se$ 为  $+4$  价, 正电性更高, 与微  $Se-O-H$  中  $O$  所带负电荷更向  $Se$  偏移, 故易电离出  $H^+$ 。

(6)  $ZnS$ 在荧光体、光导体材料、涂料、颜料等行业中应用广泛。立方  $ZnS$ 晶体结

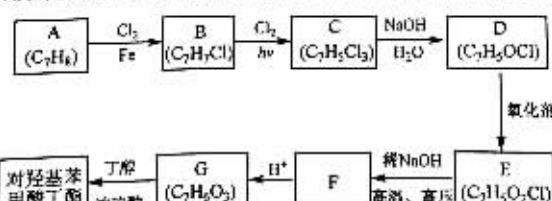
构如下图所示, 其晶胞边长为  $540.0 \text{ pm}$ , 密度为  $\frac{4 \times (65 + 32) \text{ g} \cdot \text{mol}^{-1}}{(540 \times 10^{-10} \text{ cm})^3} = 4.1 \text{ g} \cdot \text{cm}^{-3}$  (列式计算), a位置  $S^{2-}$ 离子与b位置  $Zn^{2+}$ 离子之间的距离为

$$\frac{270}{\sqrt{1 - \cos 109^\circ 28'}} = \frac{135\sqrt{2}}{\sin 109^\circ 28'} \text{ pm} \quad (\text{列式表示})$$



38. [化学——选修5 有机化学基础] (15分)

对羟基苯甲酸丁酯(俗称尼泊金酯)可用作防腐剂, 对链霉和霉菌有很强的抑制作用, 工业上常用对羟基苯甲酸与丁醇在浓硫酸催化下进行酯化反应而制得。以下是某课题组开发的从廉价、易得的化工原料出发制备对羟基苯甲酸丁酯的合成路线:



已知以下信息:

• 47 •

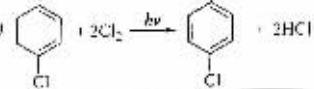
(1) 通常在同一个碳原子上连有两个羟基不稳定, 易脱水形成羟基;

(2) D 可与银氨溶液反应生成银镜;

(3) F 的核磁共振氢谱表现在其有两种不同化学环境的氢, 且峰面积比为  $1:1:1$ 。回答下列问题:

(1) A 的化学名称为 甲苯;

(2) 由 B 生成 C 的化学反应方程式为  $\text{CH}_3\text{Cl} + 2\text{Cl}_2 \xrightarrow{\text{hv}} \text{CHCl}_2 + 2\text{HCl}$



该反应的类型为 取代反应;

(3) D 的结构简式为  $\text{CH}_3\text{Cl}-\text{C}_6\text{H}_4-\text{CHO}$ ;

(4) F 的分子式为  $\text{C}_7\text{H}_5\text{O}_2\text{Na}_2$ ;

(5) G 的结构简式为  $\text{HO}-\text{C}_6\text{H}_4-\text{COOH}$ ;

(6) E 的同分异构体中含有苯环且能发生银镜反应的共有  $13$  种, 其中核磁共振氢谱有三种不同化学环境的氢, 且峰面积比为  $2:2:1$  的是  $\text{C}_6\text{H}_4-\text{OCHO}$  (写结构简式)。

39. [生物——选修1 生物技术实践] (15分)

为了探究 6-BA 和 IAA 对某菊花品种茎尖外植体再生从芽的影响, 某研究小组在 MS 培养基中加入 6-BA 和 IAA, 配制成两种培养基(见下表), 灭菌后分别接种数量相同、生长状态一致, 消毒后的茎尖外植体, 在适宜条件下培养一段时间后, 统计再生从芽外植体的比率(m), 以及再生丛芽外植体上的从芽平均数(n), 结果如下表。

培养基编号	浓度/ $\text{mg} \cdot \text{L}^{-1}$		m%	n/个
	6-BA	IAA		
1	0		76.7	3.1
2	0.5	0.1	77.4	6.1
3	0.2		66.7	5.3
4	0.5		60.0	5.0

回答下列问题:

(1) 按照植物的需求量, 培养基中无机盐的元素可分为 大量元素 和 微量元素 两类, 上述培养基中, 6-BA 属于 细胞分裂素 类生长调节剂。

• 48 •